

## محاسبه‌ی وارفتگی و افت در سازه‌های بلند بتنی با استفاده از

### آنالیز مراحل ساخت غیرخطی

محسن قبدیان (کارشناس ارشد)

ابوالحسن وفائی (استاد)

همایون اسمعیل پوراستکانچی (دانشیار)

دانشکده‌ی مهندسی عمران، دانشگاه صنعتی شریف

در این نوشتار کوتاه شدگی ستون‌ها و همچنین اختلاف کوتاه شدگی بین دیوار و ستون در قاب‌های بتن آرمه با دیوار برشی با استفاده از روش‌های آنالیز غیرخطی مرحله به مرحله و نیز با استفاده از روش‌های انتگرال‌گیری مستقیم و سری دیریکله، و با در نظر گرفتن تغییرات هر پارامتر به صورت جداگانه، محاسبه شده است. تعدادی قاب دوبعدی که از سازه‌های واقعی سه بعدی استخراج شده‌اند و از ۱۵ تا ۴۵ طبقه‌اند، مورد مطالعه قرار گرفته‌اند. نتایج این کار می‌تواند به‌عنوان راهنمایی برای تخمین و درک چگونگی تأثیر مستله‌ی وارفتگی (خزش) و افت (آبرفتگی) در رفتار سازه‌های بتنی به کار رود.

#### ۱. مقدمه

استفاده شده است. برای حل مسائل شامل وارفتگی و آبرفتگی باید پارامترهای مختلفی مانند سرعت ساخت سازه، درصد رطوبت هوا، شکل، اندازه و نوع سازه‌ی مورد استفاده، و غیره، را در نظر گرفت. در این نوشتار سعی بر این است که تأثیر بعضی از این عوامل بر کرنش ناشی از وارفتگی و افت بررسی شود. در انتها ذکر این نکته ضروری به نظر می‌رسد که مسئله‌ی وارفتگی و افت بیشتر در مورد سازه‌های حساس به کرنش‌های کوچک - مثل حائل‌های بتنی، پوسته‌هایی که در عمق زیاد مدفون شده‌اند و پل‌های با دهانه بزرگ - اهمیت خاصی می‌یابد، ولی به هر حال در مورد سازه‌های بلند بتنی که مورد بحث در این نوشتار است کوتاه شدگی ستون‌ها و تأثیر آن بر توزیع نیروها و تغییر مکان در دیوارها و تیرها و سرویس دهی سازه مسائل مهمی هستند که نیاز به تجزیه و تحلیل دارند.

#### ۲. انواع کرنش در بتن

در هر زمان  $t$  میزان کرنش بتن  $\epsilon(t)$  شامل چند مؤلفه است. این اجزا شامل کرنش لحظه‌ی یا کشسانی بتن  $\epsilon_e(t)$ ، کرنش ناشی از وارفتگی  $\epsilon_c(t)$ ، کرنش ناشی از افت بتن  $\epsilon_{sh}(t)$  و کرنش ناشی از تغییرات دمایی  $\epsilon_t(t)$  است. بنابراین برای کرنش بتن در لحظه‌ی  $t$  می‌توان نوشت:

$$\epsilon(t) = \epsilon_e(t) + \epsilon_c(t) + \epsilon_{sh}(t) + \epsilon_t(t) \quad (1)$$

کرنش کشسانی را می‌توان چنین نوشت:

$$\epsilon_e(t) = \sigma_0 / E_c(t) \quad (2)$$

تعیین کرنش واقعی به‌وجود آمده در ستون‌های یک سازه‌ی بتنی، ناشی از وارفتگی و افت و اثر آن بر توزیع نیروهای داخلی همواره مسئله‌ی پیچیده بوده است. محاسبه‌ی دقیق این نوع افت به دلیل وابستگی شدید به پارامترهای مختلف - نظیر نوع بتن، مقاومت بتن، طول بازه‌های زمانی ساخت، نوع سازه و کاربرد آن، میزان فولاد موجود در بتن، آب و هوای محل ساخت، مقاطع مورد استفاده در سازه و نیز به دلیل در اختیار نبودن مقادیر دقیق بعضی از این پارامترها، بسیار مشکل است. وقتی که یک سازه‌ی بتنی تحت تأثیر نیرویی ثابت قرار می‌گیرد، پاسخ نمونه هم به شکل آنی و هم وابسته به زمان می‌باشد. تحت تأثیر چنین نیرویی، و بر اثر گذشت زمان، تغییر شکل سازه افزایش پیدا می‌کند و در نهایت از تغییر شکل اولیه بزرگ‌تر می‌شود. اگر در چنین حالتی دما و تنش در سازه ثابت بماند ولی کرنش به صورت منظم افزایش یابد، این کرنش ناشی از وارفتگی و افت خواهد بود. معمولاً تغییر شکل‌های موجود در سازه، به جز تغییر مکان‌های ناشی از بارهای سرویس، به دلیل وارفتگی و افت هستند. برای تعیین دقیق و کاربردی میزان کرنش وارفتگی و افت باید اولاً داده‌های مناسبی از مشخصات بتن مورد استفاده، و پارامترهای مربوط به وارفتگی و افت در اختیار باشند، ثانیاً برای آنالیز سازه‌ی، چنان که تأثیر عوامل زمانی را در نظر بگیرد، از روش‌های معتبر و قابل کاربرد استفاده شود. در این نوشتار پارامترهای وارفتگی با استفاده از آئین نامه‌ی CEB-۱۹۹۰-FIP تعیین شده‌اند. همچنین برای حل و آنالیز سازه از روش سری دیریکله همراه با روش اجزاء محدود، به کمک نرم‌افزار SAP ۲۰۰۰

تاریخچه‌ی بارگذاری، مقاومت فولاد و غیره است، کاری بسیار مشکل است. در سال‌های اخیر بسیاری از محققان، مطالعاتی برای پیش‌بینی رفتار وارفتگی و افت بتن انجام داده‌اند، نظیر فینتل و خان (۱۹۶۹)، برادفورد و گاو (۱۹۹۳)، راسل و لارسن (۱۹۸۹)، سامرا (۱۹۹۵). [۵-۲] همچنین روش‌های مختلفی برای آنالیز سازه‌ها با توجه به رفتار وابسته به زمان وجود دارد که از آن میان می‌توان به روش‌های RCM، EMM، AEMM، IDM اشاره کرد. روش EMM که به وسیله‌ی فابر (۱۹۲۷) پیشنهاد شد، در واقع ساده‌ترین و قدیمی‌ترین روش برای لحاظ کردن اثرات وارفتگی است. [۶]

روش AEMM ابتدا به وسیله‌ی تروست (۱۹۶۷) ابداع شد و سپس به وسیله باژانت (۱۹۷۲) [۷] تکمیل شد. روش RCM به وسیله‌ی گلاونیل (۱۹۳۰) پیشنهاد، و سپس به وسیله‌ی ویتنی (۱۹۳۲) تکمیل شد. [۹] روش IDM هم که در واقع یک روش بهبود یافته برای پیش‌بینی دقیق‌تر رفتارهای طولانی‌مدت سازه است، به وسیله‌ی نیلسن (۱۹۷۰) ارائه شد. [۱۰]

همچنین روش‌هایی توسط مؤسسه‌ی بتن آمریکا (۱۹۹۲) و کمیته‌ی بین‌المللی بتن اروپا (۱۹۹۰) ارائه شده است. [۱۱] روش دیگر برای آنالیز زمانی سازه‌ها روش سری دیریکله است که توسط باژانت (۱۹۷۳) پیشنهاد شد. [۱۲] در این روش با تعریف  $J(t, t')$  به عنوان تابع وارفتگی و تخمین آن با یک سری مخصوص، موسوم به سری دیریکله، و با بسط این روش به یک روش مرحله به مرحله برای استفاده در محاسبات رایانه‌ی می‌توان مسائل مربوط به وارفتگی را حل کرد. مسئله‌ی مربوط به افت هم با استفاده از فرضیات آیین‌نامه کمیته‌ی بین‌المللی بتنی اروپا (CEB - FIP (۱۹۹۰) برای کرنش ناشی از افت قابل حل است.

#### ۴. روش آنالیز غیرخطی مرحله به مرحله<sup>۱</sup>

این روش حالت خاصی از آنالیز استاتیکی غیرخطی است که دارای امکان ساخت مرحله به مرحله با در نظر گرفتن خواص وابسته به زمان مواد است. به دلیل اینکه سازه در طول آنالیز در حال تغییر است این آنالیز از نوع آنالیز استاتیکی غیرخطی است. برای هر آنالیز از این نوع می‌توان تعدادی مرحله‌ی ساخت زمانی تعریف کرد که برای سازه‌های ما هر مرحله، شامل ساخت یک طبقه در ۷، ۱۴، ۲۱، ۲۸ و ۳۵ روز است و در انتهای ساخت کلی سازه هم تعدادی مرحله‌ی زمانی برای لحاظ رفتار زمانی مواد تعریف شده است. با توجه به این نکته که این نوع آنالیز مختص مسائل ناشی از وارفتگی و افت نیست و توضیح کامل مدل کردن سازه‌ها توسط این روش در این مجال نمی‌گنجد، برای فهم بهتر می‌توان به بخش آنالیز استاتیکی غیرخطی در راهنمای نرم‌افزار SAP۲۰۰۰ مراجعه کرد.

که  $E_c(t)$  در طول زمان قابل تغییر است. کرنش وارفتگی را هم می‌توان چنین تعریف کرد:

$$\epsilon_c(t) = \epsilon_d(t) + \epsilon_f(t) \quad (۳)$$

که در آن  $\epsilon_f(t)$  معروف به کرنش جریان (flow strain) است که خود شامل سه بخش: کرنش وارفتگی پایه  $\epsilon_{fb}(t)$ ، کرنش خشک شدگی  $\epsilon_{fd}(t)$  و کرنش کشسانی به تأخیر افتاده  $\epsilon_{fi}(t)$  است. برای کرنش وارفتگی کل می‌توان نوشت:

$$\epsilon_c(t) = \phi(t)\epsilon_e \quad (۴)$$

که در آن  $\phi(t)$  را می‌توان نسبت کرنش ناشی از وارفتگی به کرنش کشسان، ظرفیت وارفتگی بتن یا ضریب وارفتگی نامید. کرنش ناشی از افت یا  $\epsilon_{sh}(t)$  هم برابر است با:

$$\epsilon_{sh}(t, t_0) = \epsilon_{sho}\beta_s(t - t_0) \quad (۵)$$

$$\epsilon_{sho} = \epsilon_s(fcm)\beta_{RH} \quad (۶)$$

$$\epsilon_s(fcm) = [۱۶۰ + ۱۰B_{sc}(۹ - fcm/fcm_0)] * ۱۰^{-۶}$$

$$\beta_{RH} = -۱,۵۵[۱ - (RH/۱۰۰)^۲] \quad ۴۰\% \leq RH \leq ۹۹\%$$

$$\beta_{RH} = ۰,۲۵ \quad RH > ۹۹\% \quad (۷)$$

$$\beta_s(t - t_s) = \left[ \frac{(t - t_s)/t_1}{۳۵۰/(h/h_0)^۲ + (t - t_s)/t_1} \right]^{۰,۵} \quad (۸)$$

البته در این معادلات:

$t$  = سن بتن (بر حسب روز)؛

$t_s$  = سن بتن (بر حسب روز) در هنگام شروع جمع‌شدگی؛

$t_1 = ۱$  روز؛

$h_0 = ۱۰۰$  mm

$f_{cm}$  = مقاومت فشاری میانگین بتن در سن ۲۸ روز (بر حسب MPa)؛

$f_{cm_0} = ۱۰$  MPa

$RH$  = درصد رطوبت نسبی؛

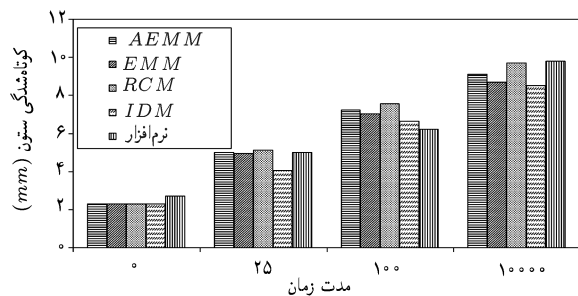
$B_{sc}$  ضریبی است که مقدار آن برای سیمان‌های کندگیر برابر با ۴، برای سیمان‌های معمولی با سرعت گیرش متعارف یا سیمان‌های تندگیر برابر با ۵، و برای سیمان‌های پرمقاومت تندگیر برابر با ۸ است. [۱]

#### ۳. روش‌های مختلف تحلیل وارفتگی

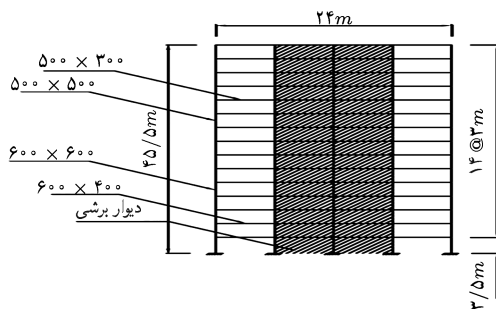
پیش‌بینی کوتاه شدگی ناشی از وارفتگی و افت به واسطه‌ی این که وارفتگی و افت تابعی غیرخطی از ماده، بارگذاری و پارامترهای طراحی مثل درصد رطوبت نسبی، ضریب حجم به سطح، درصد فولاد،

جدول ۱. مشخصات ستون مورد استفاده.

$\rho$	$A_S(mm^2)$	$A_C(mm^2)$	$E_S(GPa)$	$E_C(\tau_0)(GPa)$
۰٫۰۲	۱۸۰۰	۹۰۰۰۰	۲۰۰	۲۵



شکل ۱. نتایج مقایسه‌ی روش‌های IDM, RCM, EMM, AEMM با نتایج حاصل از نرم‌افزار.



شکل ۲. مشخصات نمونه‌ی از قاب‌های مورد مطالعه.

اولیه برای محاسبات وارفنگی و افت با در نظر گرفتن پارامترهایی مثل «درصد رطوبت نسبی»، «ضخامت نسبی»، «ضریب مربوط به افت (BSC)» و «سن بتن» در آغاز افت تعیین شده‌اند. همچنین برای تجزیه و تحلیل وارفنگی از روش سری دیریکله و روش انتگرال‌گیری مستقیم استفاده شده است. برای تمامی مدل‌ها پارامترهای اولیه‌ی وارفنگی و افت و نیز مشخصات عمومی سازه به شرح زیر انتخاب شده است: سرعت ساخت طبقات = ۷ روز برای هر طبقه و  $f'_c \cong 28 MPa$  (مقاومت فشاری بتن)

سن بتن در شروع افت = ۱۰ روز و رطوبت نسبی  $(h) = 70\%$

## ۷. نتایج به دست آمده

در این قسمت به بررسی نتایج به دست آمده در سازه‌های مورد مطالعه می‌پردازیم. در جدول ۲ مقاطع تیر و ستون در سازه‌های مختلف نشان داده شده است.

### ۱.۷. تأثیر سرعت ساخت

سرعت ساخت قسمت‌های مختلف سازه در مقادیر کوتاه‌شدگی ستون‌ها و اختلاف بین کوتاه‌شدگی ستون و دیوار نقش مهمی دارد. نتایج مربوط

## ۵. بررسی ستون ساده

برای تأیید روش حل با نرم‌افزار SAP ۲۰۰۰، با کاربرد آن در یک مورد نمونه‌ی ساده و مقایسه‌ی نتایج حاصل از آن با نتایج به دست آمده از روش‌های IDM, RCM, EMM, AEMM درستی عملکرد نرم‌افزار حاصل شد. مشخصات ستونی به طول ۶ متر که تحت تأثیر نیروی ثابت ۱۰۰۰ KN قرار گرفته است، در جدول ۱ آورده شده است. همچنین سن بتن در هنگام شروع آبرفتگی برابر  $1 day = \tau_0$  است. برای ضریب وارفنگی هم مقادیر زیر فرض شده است:

$$(t - \tau_0) = 0 \text{ day}; \phi = 0.1; E_{sh}(t - \tau_0) * 10^{-6} = 0.1$$

$$(t - \tau_0) = 25 \text{ day}; \phi = 1.0; E_{sh}(t - \tau_0) * 10^{-6} = 2.0$$

$$(t - \tau_0) = 100 \text{ day}; \phi = 2.0; E_{sh}(t - \tau_0) * 10^{-6} = 4.0$$

$$(t - \tau_0) = 10000 \text{ day}; \phi = 3.0; E_{sh}(t - \tau_0) * 10^{-6} = 6.0$$

نتایج حاصل از مقایسه‌ی روش‌های مختلف همراه با نتایج حاصل از نرم‌افزار، در شکل ۱ نشان داده شده است.

چنان‌که ملاحظه می‌شود تطابق خوبی بین نتایج ملاحظه می‌شود و اختلاف مشاهده شده عمدتاً به دلیل تفاوت بین مدل تحلیل در نرم‌افزار و پیش‌فرض‌های انجام شده در محاسبات مربوط به روش‌های دستی است. تجربه نشان داده است که روش EMM معمولاً کمینه‌ی مقدار کرنش وارفنگی را ارائه می‌دهد. برای محاسبات دستی روش AEMM توصیه می‌شود؛ زیرا هم دقت کافی و کارایی و سادگی لازم را دارد، و هم می‌توان این روش را به نرم‌افزارهای مختلف محاسبات سازه‌ی وارد کرد. در بسیاری از حالات، روش IDM هم بیان ساده‌ی رفتار بلندمدت سازه در تجزیه و تحلیل آن در اختیار می‌گذارد. البته روش IDM، به لحاظ طبیعت فرمول‌بندی‌اش، در حالتی که زمان بارگذاری کم‌تر از ۱۰۰ روز است، جواب‌های پیش‌بینی نشده‌ی می‌دهد. [۱۴]

## ۶. طراحی مدل‌های سازه

چند نمونه سازه‌ی بتنی در ۱۵، ۲۰، ۲۵، ۳۰، ۴۰ و ۴۵ طبقه انتخاب شده‌اند. سازه‌های ۱۵ و ۲۰ طبقه چهار دهانه دارند که در دهانه‌های دوم و سوم از دیوارهای برشی استفاده شده است. ارتفاع طبقه‌ی همکف ۳٫۵ متر و بقیه‌ی طبقات ۳ متر است (شکل ۲). سازه‌های ۲۵، ۳۰، ۴۰ و ۴۵ طبقه هم دارای ۷ دهانه‌اند که در دهانه‌های دوم و سوم و پنجم و ششم از دیوار برشی استفاده شده است. ارتفاع تمامی طبقات ۳٫۵ متر است و طول دهانه در تمامی مدل‌ها ۶ متر است. در این نوشتار از مدل‌های دوبعدی، که از سازه‌های سه‌بعدی استخراج شده‌اند، استفاده شده است و مقاطع مورد استفاده در آنها مقطعی واقعی است که از طراحی بهینه‌ی سازه‌ها به دست آمده‌اند. در تمامی سازه‌ها مقادیر

جدول ۲. مقاطع مورد استفاده در سازه‌های مورد مطالعه.

تعداد طبقات	مقاطع مورد استفاده در تیرها (mm)	مقاطع مورد استفاده در ستون‌ها (mm)
۱۵	$۶۰۰ \times ۴۰۰(۱-۹)$ ; $۵۰۰ \times ۳۰۰(۹-۱۵)$	$۶۰۰ \times ۶۰۰(۱-۸)$ ; $۵۰۰ \times ۵۰۰(۸-۱۵)$
۲۰	$۸۰۰ \times ۸۰۰(۱-۱۳)$ ; $۶۰۰ \times ۴۰۰(۱۳-۲۰)$	$۸۰۰ \times ۸۰۰(۱-۱۳)$ ; $۶۰۰ \times ۶۰۰(۱۳-۲۰)$
۲۵	$۸۰۰ \times ۸۰۰(۱-۱۵)$ ; $۸۰۰ \times ۵۰۰(۱۵-۲۵)$	$۱۰۰۰ \times ۱۰۰۰(۱-۱۵)$ ; $۸۰۰ \times ۸۰۰(۱۵-۲۵)$
۳۰	$۸۰۰ \times ۹۵۰(۱-۱۴)$ ; $۸۰۰ \times ۸۰۰(۱۴-۲۳)$ ; $۶۰۰ \times ۶۰۰(۲۳-۳۰)$	$۱۱۰۰ \times ۱۱۰۰(۱-۱۴)$ ; $۸۰۰ \times ۸۰۰(۱۴-۲۳)$ ; $۶۰۰ \times ۶۰۰(۲۳-۳۰)$
۴۰	$۱۱۰۰ \times ۱۱۰۰(۱-۱۵)$ ; $۱۰۰۰ \times ۱۰۰۰(۱۵-۲۵)$ ; $۸۰۰ \times ۸۰۰(۲۵-۳۳)$ ; $۷۰۰ \times ۷۰۰(۳۳-۴۰)$	$۱۵۰۰ \times ۱۵۰۰(۱-۱۵)$ ; $۱۲۵۰ \times ۱۲۵۰(۱۵-۲۵)$ ; $۱۰۰۰ \times ۱۰۰۰(۲۵-۳۲)$ ; $۷۰۰ \times ۷۰۰(۳۲-۴۰)$
۴۵	$۱۱۰۰ \times ۱۱۰۰(۱-۱۵)$ ; $۱۰۰۰ \times ۱۰۰۰(۱۵-۲۵)$ ; $۸۰۰ \times ۸۰۰(۲۵-۳۳)$ ; $۷۰۰ \times ۷۰۰(۳۳-۴۵)$	$۱۵۰۰ \times ۱۵۰۰(۱-۱۵)$ ; $۱۲۵۰ \times ۱۲۵۰(۱۵-۲۵)$ ; $۱۰۰۰ \times ۱۰۰۰(۲۵-۳۲)$ ; $۷۵۰ \times ۷۵۰(۳۲-۴۵)$

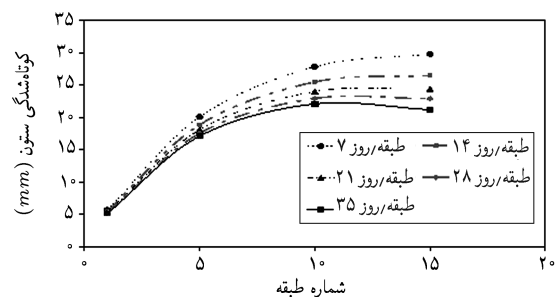
ملاحظه می‌شود با افزایش سرعت ساخت سازه، اختلاف کوتاه شدگی نیز کاهش می‌یابد. البته مقدار این اختلاف چندان محسوس نیست و معمولاً از ۳ میلی‌متر تجاوز نمی‌کند.

لازم به ذکر است که بیشینه‌ی اختلاف کوتاه شدگی در میانه‌ی روبره بالای سازه اتفاق می‌افتد که این نتیجه با نتایج موجود از تحقیقات انجام شده‌ی قبلی تطابق دارد. [۱۶ و ۱۵] همچنین می‌توان از نتایج به دست آمده چنین استنباط کرد که دیوارهای برشی در پایان عمر مفید سازه بیش از ستون‌ها افت پیدا می‌کنند و سازه حالت مقعر به خود می‌گیرد. این نتیجه‌گیری نیز با نتایجی که محققان ارائه کرده‌اند مطابقت دارد.

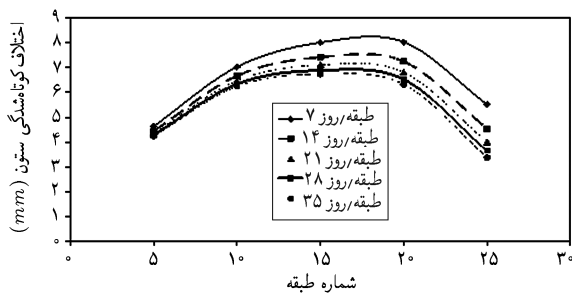
به بررسی کوتاه شدگی ستون‌ها برای سرعت ساخت‌های مختلف در سازه‌های ۱۵ و ۴۰ طبقه در شکل‌های ۳ و ۴ نشان داده شده‌اند. با افزایش مدت زمان ساخت هر طبقه در سازه، میزان کوتاه‌شدگی ستون‌های طبقات کاهش می‌یابد. یکی از عوامل مهم در مورد مسائل وارفتگی و افت مسئله اختلاف کوتاه‌شدگی بین ستون و دیوار برشی برای سرعت ساخت‌های مختلف است. مقادیر مختلف کوتاه‌شدگی بین ستون و دیوار در طبقات مختلف سازه‌ی ۱۵ طبقه در جدول ۳ ارائه شده است. همچنین در شکل‌های ۵ و ۶ اختلاف کوتاه‌شدگی برای طبقات مختلف سازه‌های ۲۵ و ۴۵ طبقه نشان داده شده است. چنان که

جدول ۳. اختلاف کوتاه‌شدگی بین ستون و دیوار در طبقات مختلف سازه ۱۵ طبقه.

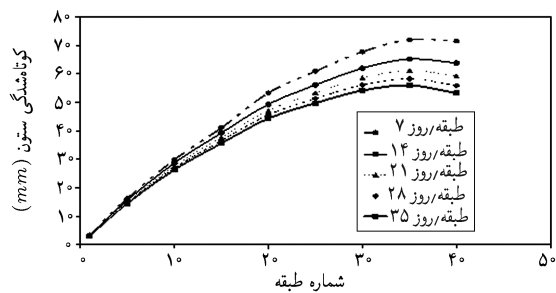
سرعت ساخت	شماره طبقه			
	۱	۵	۱۰	۱۵
۷	۳,۲۷	۱,۰۰۰	۸,۷۳	۸,۱۵
۱۴	۳,۱	۹,۳۴	۹,۶۲	۶,۷۷
۲۱	۳,۰۱	۸,۹۶	۸,۹۶	۵,۹۶
۲۸	۲,۹۵	۸,۶۸	۸,۵	۵,۷
۳۵	۲,۸۹	۸,۴۷	۸,۱۵	۵,۴



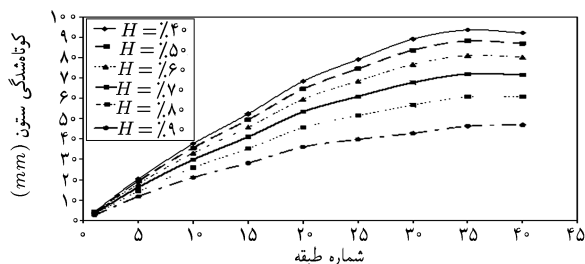
شکل ۳. مقادیر کوتاه‌شدگی ستون نسبت به سرعت ساخت‌های مختلف در سازه‌ی ۱۵ طبقه.



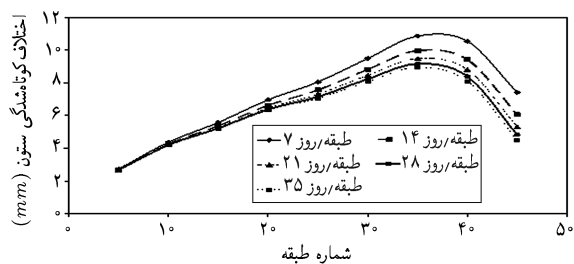
شکل ۵. مقادیر اختلاف کوتاه‌شدگی بین ستون و دیوار نسبت به تغییرات سرعت ساخت برای سازه ۲۵ طبقه.



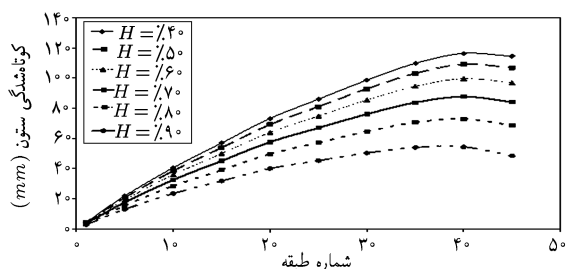
شکل ۴. مقادیر کوتاه‌شدگی ستون نسبت به سرعت ساخت‌های مختلف در سازه‌ی ۴۰ طبقه.



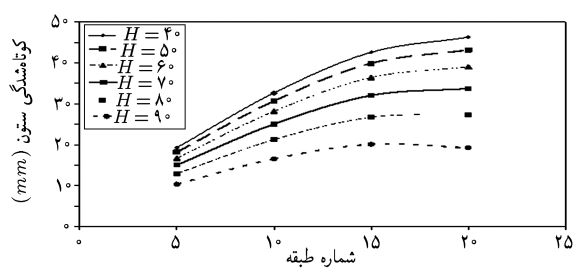
شکل ۹. مقادیر کوتاه‌شدگی ستون‌ها نسبت به تغییرات درصد رطوبت نسبی برای سازه ۴۰ طبقه.



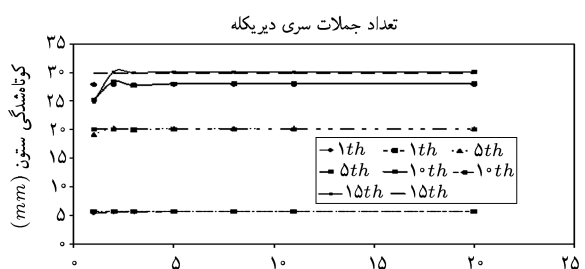
شکل ۶. مقادیر اختلاف کوتاه‌شدگی نسبت به تغییرات سرعت ساخت برای سازه ۴۵ طبقه.



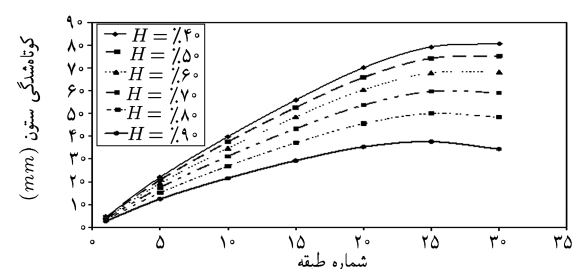
شکل ۱۰. مقادیر کوتاه‌شدگی ستون‌ها نسبت به تغییرات درصد رطوبت نسبی برای سازه ۴۵ طبقه.



شکل ۷. مقادیر کوتاه‌شدگی ستون‌ها نسبت به تغییرات درصد رطوبت نسبی برای سازه ۲۰ طبقه.



شکل ۱۱. مقایسه‌ی دو روش سری دیریکله و انتگرال‌گیری مستقیم در سازه ۱۵ طبقه.



شکل ۸. مقادیر کوتاه‌شدگی ستون‌ها نسبت به تغییرات درصد رطوبت نسبی برای سازه ۳۰ طبقه.

چنان که ملاحظه می‌شود مقادیر دو روش تقریباً از جمله سوم یا چهارم سری دیریکله به هم نزدیک می‌شوند و از این نکته می‌توان برای محاسبات استفاده کرد.

### ۳.۷. تأثیر وارفتگی و افت بر نیروهای داخلی

معمولاً در طراحی سازه‌ها مسئله‌ی تأثیر وارفتگی و افت مورد توجه قرار نمی‌گیرد و مقادیر نیروهای داخل اعضای سازه براساس تجزیه و تحلیل‌هایی تعیین می‌شود که رفتار غیرخطی مواد در طول زمان به دلیل وجود وارفتگی و افت، در آنها تأثیری ندارد. در جداول ۵ و ۶ ممان و برش به دست آمده در بعضی از تیرها، که براساس تجزیه و تحلیل‌های مختلف به دست آمده است، با هم مقایسه می‌شوند.

با توجه به نتایج به دست آمده، به نظر می‌رسد برای تعیین مقدار صحیح نیروها، تجزیه و تحلیل وارفتگی سازه لازم و ضروری است -- به خصوص در تیرها که توزیع ممان در آنها در حالت آنالیز

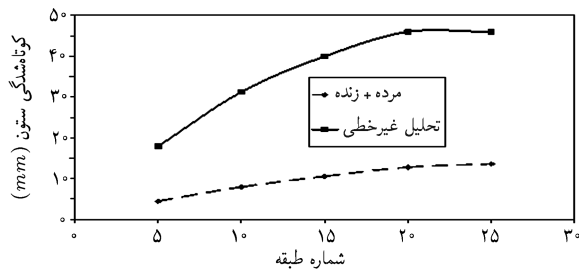
### ۲.۷. تأثیر درصد رطوبت نسبی

«درصد رطوبت نسبی» عاملی است که هم در تعیین کرنش ناشی از وارفتگی، و هم در مقادیر کرنش ناشی از افت مؤثر است. در شکل‌های ۷، ۸، ۹، ۱۰ و ۱۱ مقادیر کوتاه‌شدگی ستون‌ها برای سازه‌های ۲۰، ۳۰، ۴۰ و ۴۵ طبقه با توجه به تغییرات درصد رطوبت نسبی نشان داده شده است. چنان که مشاهده می‌شود با توجه به تفاوت درصد رطوبت نسبی در مناطق مختلف، تغییرات کرنش ناشی از وارفتگی و افت نسبت به این پارامتر کاملاً محسوس است. مثلاً مقادیر کوتاه‌شدگی و درصد تغییرات آن‌ها در طبقه‌های دهم و پانزدهم سازه‌ی ۲۵ طبقه در جدول ۴ ارائه شده است.

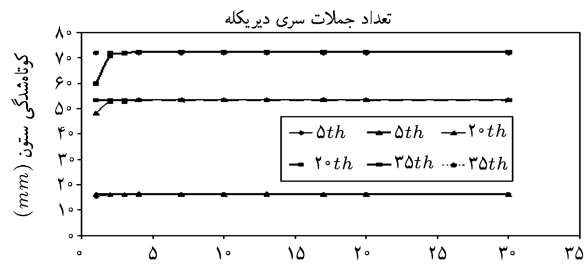
توجه به مسئله‌ی وارفتگی در نرم‌افزار توسط دو روش انتگرال‌گیری مستقیم و روش سری دیریکله انجام می‌پذیرد. مقادیر کوتاه‌شدگی ستون با استفاده از این دو روش برای دو سازه ۲۰ و ۳۰ طبقه در شکل‌های ۱۱ و ۱۲ نشان داده شده است.

جدول ۴. مقادیر کوتاه‌شدگی و درصد تغییر آنها در طبقات ۱۰، ۱۵ و ۲۰ از سازه‌ی ۲۵ طبقه.

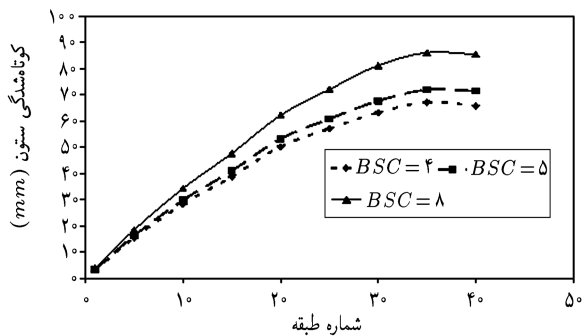
درصد رطوبت نسبی (h)	طبقه دهم		طبقه پانزدهم		طبقه بیستم	
	کوتاه‌شدگی	درصد تغییرات	کوتاه‌شدگی	درصد تغییرات	کوتاه‌شدگی	درصد تغییرات
۴۰	۴۰٫۸۳	-	۵۲٫۹۳	-	۶۱٫۶۸	-
۵۰	۳۸٫۲۷	۶٫۲۶	۴۹٫۵۷	۶٫۴	۵۷٫۶۵	۶٫۵۳
۶۰	۳۵٫۱۱	۱۴٫۰۱	۴۵٫۲۷	۱۴٫۴۷	۵۲٫۴۸	۱۴٫۹
۷۰	۳۱٫۲۴	۲۳٫۴۹	۳۹٫۹۸	۲۴٫۴۷	۴۵٫۹۹	۲۵٫۴۴
۸۰	۲۶٫۶	۳۴٫۸۵	۳۳٫۶۳	۳۶٫۴۶	۳۸٫۲۱	۳۸٫۰۵
۹۰	۲۱٫۰۷	۴۸٫۳۹	۲۶٫۰۷	۵۰٫۷۴	۲۸٫۹۲	۵۳٫۱۱



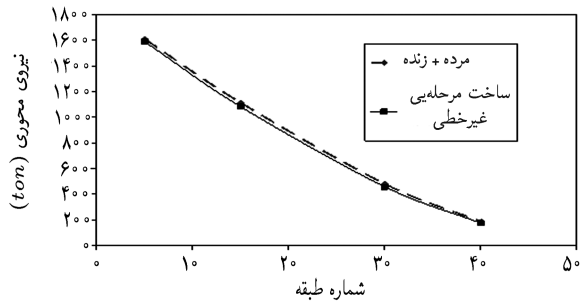
شکل ۱۴. مقادیر کوتاه‌شدگی ستون ناشی از آنالیزهای مختلف.



شکل ۱۲. مقایسه‌ی دو روش سری دیریکله و انتگرال‌گیری مستقیم در سازه‌ی ۳۰ طبقه.



شکل ۱۵. مقادیر کوتاه‌شدگی ستون تحت تأثیر BSCهای مختلف.



شکل ۱۳. مقادیر نیروی محوری موجود در ستون با توجه به تجزیه و تحلیل‌های مختلف.

#### ۵.۷. اثر پارامتر BSC مربوط به آبرفتگی در کوتاه‌شدگی

##### ستون‌ها

در این بخش تأثیر تغییر پارامتر BSC -- مربوط به نوع سیمان مورد استفاده در بتن -- روی کوتاه‌شدگی ستونی در سازه‌ی ۴۰ طبقه بررسی می‌شود. نتایج در شکل ۱۵ نشان داده شده است.

#### ۶.۷. تأثیر $f'_c$ بتن بر کوتاه‌شدگی ستون‌ها

نتایج آیین‌نامه‌ی CEB - FIP (۱۹۹۰) برای بتن‌های تا مقاومت ۲۸ روزه ۸۵MPa معتبر است. در این بخش تأثیرات این پارامتر مقاومتی بر کوتاه‌شدگی ستون‌ها، و نیز اختلاف کوتاه‌شدگی بین ستون و دیوار بررسی می‌شود. در شکل‌های ۱۶ و ۱۷ این تغییرات نشان داده شده است.

وارفتگی با آنالیز معمول سازه تفاوت دارد. البته بدیهی است که این مسئله نتایج تجزیه و تحلیل‌های مختلفی مثل تجزیه و تحلیل‌های دینامیکی را هم که روی سازه انجام می‌شود تغییر می‌دهد و بنابراین بحرانی‌ترین حالت را باید مد نظر قرار داد. مقادیر برش در تیرها تحت تأثیر اثرات زمانی تغییر چندانی نمی‌کند. همچنین مقادیر نیروی محوری موجود در ستون‌ها هم چندان متأثر از وارفتگی و افت نیست. در شکل ۱۳ این موضوع نشان داده شده است.

#### ۴.۷. تأثیر آنالیز وارفتگی در کوتاه‌شدگی ستون‌ها

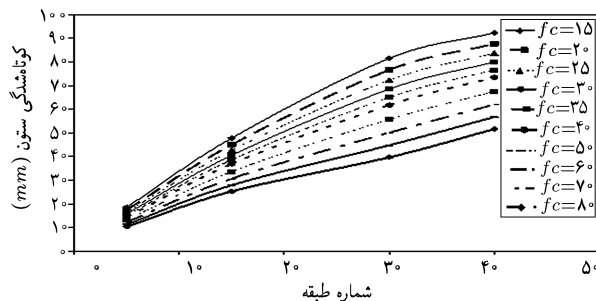
برای به‌دست آوردن کوتاه‌شدگی ستون‌ها حتماً باید آنالیزهای مدت‌دار را که اثرات وارفتگی و افت را لحاظ می‌کند مورد استفاده قرار داد. در شکل ۱۴ این موضوع نشان داده شده است.

جدول ۵. مقادیر ممان برحسب تن - متر در تیرهای سازه‌ی ۴۵ طبقه با توجه به تجزیه و تحلیل‌های مختلف و برای درصد رطوبت نسبی ۷۰ درصد و سرعت ساخت ۱۴ روز برای هر طبقه.

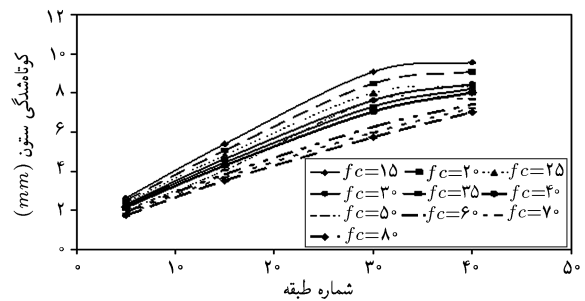
طبقه	بارمرده (استاتیکی خطی)	مرده + زنده (استاتیکی خطی)	ساخت مرحله‌یی غیرخطی
۵	$M^- = ۲۵,۲۲ \quad M^+ = ۸,۶۴$	$M^- = ۲۸,۴ \quad M^+ = ۹,۷۱$	$M^- = ۲۴,۷۱ \quad M^+ = ۱۴,۲۷$
۱۵	$M^- = ۳۰,۹۳ \quad M^+ = ۱۱,۱۳$	$M^- = ۳۵,۰۴ \quad M^+ = ۱۲,۶۲$	$M^- = ۲۷,۸۱ \quad M^+ = ۱۹,۱۹$
۳۰	$M^- = ۲۵,۰۳ \quad M^+ = ۹,۱۵$	$M^- = ۲۹,۱۲ \quad M^+ = ۱۰,۶۴$	$M^- = ۱۸,۳۲ \quad M^+ = ۱۷,۰۲$
۴۰	$M^- = ۱۹,۴۸ \quad M^+ = ۶,۹۲$	$M^- = ۲۲,۹۷ \quad M^+ = ۸,۱۵$	$M^- = ۱۲,۶۵ \quad M^+ = ۱۳,۸۱$

جدول ۶. مقادیر برش برحسب تن در تیر در سازه‌ی ۴۵ طبقه با توجه به تجزیه و تحلیل‌های مختلف.

نوع آنالیز	شماره طبقه			
	۲۵	۲۰	۱۵	۱۰
مرده	۱۴,۸۵	۱۶,۸	۱۴,۰۰	۱۴,۶۲
مرده + زنده	۲۰,۴۲	۲۳,۱۶	۱۹,۹۷	۲,۰۸۸
ساخت مرحله‌یی غیرخطی	۲۰,۸۶	۲۲,۹۲	۱۹,۷۲	۱۹,۶۲



شکل ۱۷. مقادیر کوتاه‌شدگی ستون نسبت به تغییرات  $f_c$  در سازه ۴۵ طبقه.



شکل ۱۶. مقادیر کوتاه‌شدگی ستون نسبت به تغییرات  $f_c$  در سازه ۴۰ طبقه.

بگذارد. در پایان عمر مفید سازه این نتیجه به دست آمد که دیوارهای برشی بیش‌تر از ستون‌ها افت پیدا کردند. حداکثر این اختلاف معمولاً در نیمه‌ی بالایی و نزدیک به بالای سازه اتفاق می‌افتد. مثلاً برای سازه‌های ۱۵، ۲۰، ۲۵، ۳۰، ۴۰ و ۴۵ طبقه در طبقات بالایی سازه‌ها باید به‌ترتیب رواداری‌های ۱۰، ۸، ۸، ۱۰ و ۱۱ میلی‌متر رعایت شود تا از به وجود آمدن تنش‌های ناخواسته جلوگیری شود. در مورد تأثیر درصد رطوبت نسبی در سازه‌ها می‌توان گفت که برای سازه‌های مشابهی که در نقاط مختلف (از نظر درصد رطوبت نسبی) ساخته می‌شوند اختلاف چشم‌گیری بین ارقام کوتاه‌شدگی ستون‌ها و درصد تغییر آنها وجود دارد که البته این تفاوت برای اختلاف کوتاه‌شدگی به این شدت نیست. نکته‌ی قابل توجه این که در سازه‌های بلندمرتبه اختلاف مقادیر کوتاه‌شدگی در بازه‌ی درصد رطوبت نسبی ۴۰ تا ۹۰ درصد به بیش از ۵۰٪ می‌رسد. مثلاً برای سازه‌ی ۴۵ طبقه حداکثر درصد اختلاف بین بالاترین و پایین‌ترین کوتاه‌شدگی ستون‌ها در حضور درصد رطوبت‌های مختلف برای طبقات ۱، ۲۰، ۳۵ و ۴۰ به‌ترتیب برابر است با ۳۹/۵۱، ۴۴/۱۵، ۴۸/۹۹ و ۵۳/۳۱. چون لحاظ‌کردن آنالیزهایی که رفتار متکی بر زمان مواد را در نظر می‌گیرند باعث تغییر در توزیع

## نتیجه‌گیری

با توجه به نتایج به دست آمده هرچه سرعت ساخت سازه کم‌تر باشد، کوتاه‌شدگی ستون‌ها و نیز اختلاف کوتاه‌شدگی بین ستون و دیوار کاهش می‌یابد. نکته‌ی قابل توجه این که هر چه به سمت طبقات بالای سازه برویم درصد تغییرات کوتاه‌شدگی نسبت به سرعت ساخت افزایش خواهد یافت. این مسئله در مورد اختلاف کوتاه‌شدگی بین ستون و دیوار نیز صادق است. مثلاً برای سازه‌ی ۴۵ طبقه با سرعت ساخت‌های مختلف در بین ۷ تا ۳۵ روز برای هر طبقه، حداکثر درصد تغییرات کوتاه‌شدگی در طبقات ۱۰، ۲۵ و ۴۰ به ترتیب برابر است با ۱۲/۴۷، ۱۷/۷ و ۲۳/۸۶. همچنین برای سازه‌ی ۳۰ طبقه با همان بازه‌ی سرعت ساخت، و برای طبقات ۵، ۲۰ و ۳۰ حداکثر درصد تغییرات کوتاه‌شدگی به‌ترتیب برابر است با ۱۰/۷۲، ۱۶/۲۸ و ۲۶/۴۸. به‌عنوان راهکاری برای ساخت سازه‌ها می‌توان به این نکته اشاره کرد که قسمت‌های غیرسازه‌یی، ۳ یا ۶ ماه پس از ساخت سازه نصب یا اجرا شوند تا از میزان درگیری بین اجزای سازه‌یی که علت اصلی مسائل به‌وجود آمده‌ی ناشی از وارفتگی و افت است، کاسته شود. همچنین ایجاد تأخیرهای متناسب با شرایط آب و هوایی، می‌تواند تأثیر به‌سزایی بر کاهش تنش‌های ناخواسته

اگر در تحلیل سازه برای وارفتگی و افت از آنالیز غیرخطی مراحل ساخت استفاده می‌شود، باید تغییرات پارامترهای زمانی مثل «درصد رطوبت نسبی» یا «سرعت ساخت» و غیره طبق مقادیر واقعی ملحوظ، و بحرانی‌ترین حالت انتخاب شود. بدیهی است که این مقادیر برای هر سازه متفاوت‌اند و نتایج طراحی هم به تبع آن یکسان نخواهند بود. در طراحی سازه‌ها بهتر است چنان عمل شود که در پارامترهایی از قبیل «سطح مقطع اعضا» و «درصد فولاد موجود در بتن» تغییرات ناگهانی ایجاد نشود و حتی‌الامکان این تغییرات به صورت مرحله به مرحله و به آهستگی انجام شود. بدین وسیله اختلاف کوتاه‌شدگی بین اعضای مجاور کاهش می‌یابد. در انتها یادآور می‌شود که توجه مهندسان به تغییرات ممان مثبت در تیرها ضروری است، و به دلیل اهمیت این موضوع بهتر است پیرامون اثرات آن در طراحی سازه‌ها مطالعاتی انجام گیرد.

ممان در تیرها می‌شود، توصیه می‌شود برای سازه‌های بلند بتنی که مسئله‌ی وارفتگی به دلیل کاربری آنها مسئله‌ی قابل تأمل است، حتماً یک نوع آنالیز زمانی سازه مثل آنالیزهای غیرخطی مرحله به مرحله با ملحوظ داشتن رفتار غیرخطی بتن در طول زمان، انجام گیرد. در صورت به‌کارگیری آنالیزهای وارفتگی با استفاده از روش سری دیریکله، محاسبات در این نوشتار نشان می‌دهد که معمولاً استفاده از ۳ یا ۴ جمله‌ی ابتدایی سری دیریکله برای رسیدن به جواب قابل قبول کافی است. مسئله‌ی دیگری که بر اثر کرنش‌های ناشی از وارفتگی و افت اتفاق می‌افتد، تغییرات نیروهای فشاری در نمای ساختمان است. با توجه به اهمیت شکل ظاهری ساختمان، جلوگیری از این پدیده الزامی است. راه حلی که می‌توان در اینجا پیشنهاد کرد، ایجاد درز یا درزهای افقی در نما است.

#### پانویس

1. nonlinear staged construction

#### منابع

1. Mehta. P.K. and Monteiro. P.J.M., "Concrete-Microstructure, Properties and Materials", Book In Byte Company (October 2001).
2. Fintel, M. and Khan, FR. Effects of Column Creep And Shrinkage In Tall Structure-P rediction of Inelastic Column Shortening. *ACI Journal*, **66**(12), pp. 957-967 (1969).
3. Gao, Z. and Bradford, MA. Time-dependent Shortening of Slender RC Columns. *Journal of Engineering Mechanics, ASCE* **119**(10), pp. 2036-2051 (1993).
4. Russel, HG. and Lason, SC. Thirteen Years of Deformation In Water Tower Place. *ACI Structural Journal*, **86**(2), pp. 182-191 (1989).
5. Samra, RM. New Analysis For Creep Behavior In Concrete Columns. *Journal of Structural Engineering, ASCE* **121**(3), pp. 399-407 (1995).
6. Faber, O. Plastic Yield, Shrinkage And Other Problem of Concrete And Their Effects On Design, Minutes Of Proc. of The Inst. of Civil Engineers, 225, Part I, London, pp. 27-73 (1927).
7. Bazant, z.p., Prediction of Concrete Creep Effects Using Age-Adjusted Effective Modulus Method, *ACI Journal*, **69**, pp. 212-217 (April 1972).
8. Dischinger, F., Untersuchungen über Die Knick-sicherheit, Die Elastische Verformung Und Das Kriechen Des Betons Bei Bogenbrücken, Der Baulingenieur, **18**(33/34) pp. 487-520 (1973).
9. Glanville, W.H., Studies In Reinforced Concrete-III, The Creep Or Flow Of Concrete Under Load, Building Research Technical Paper No. 12, Department of Scientific And Industrial Research, London, pp. 39-48 (1930).
10. Nielsen, L.F., Kriechen Und Relaxation Des Beton, *Beton-und Stahlbetonbau*, **65**, pp. 272-275 (1970).
11. ACI (American Concrete Institute). Prediction of Creep, Shrinkage, and Temperature Effects in Concrete Structure, ACI, Detroit (MI 1992).
12. Comitee Euro-International Du Beton, CEB-FIP International Recommendation For The Design And Construction of Concrete Structures, Paris-London (1978, 1990).
13. Bazant, z.p. and Spencer, T. Wu. Dirichlet Series Creep Function For Aging Concrete. *Journal of The Engineering Mechanics Division. EM2*, pp. 367-387, (1973).
14. Gilbert. R.I., Time Effect In Concrete Structure, Elsevier Science Publishing Company Inc New York, (1988).
15. Jayasinghe, M. T. R. and Jayasena, W. M. V. P. K., "Effect of Axial Shortening of Columns on Design and Construction of Tall Reinforced Concrete Buildings", Practice Periodical on Structural Design and Construction, pp. 70-78 (May 2004).
16. Ghosh. S.K., "Estimation and Accommodation of Column Length Changes in Tall Building", Large Concrete Buildings, Longmans, London, (1996).